

Zeitschrift: Eclogae Geologicae Helvetiae

Band: 79 (1986)

Heft: 2

Artikel: Fazielle Entwicklung und paläogeographische Rekonstruktion des helvetischen Schelfs während der untersten Kreide in der Zentral- und Ostschweiz

Anhang: Tafeln

Autor: [s.n.]

DOI: <https://doi.org/10.5169/seals-165843>

Nutzungsbedingungen

Die ETH-Bibliothek ist die Anbieterin der digitalisierten Zeitschriften. Sie besitzt keine Urheberrechte an den Zeitschriften und ist nicht verantwortlich für deren Inhalte. Die Rechte liegen in der Regel bei den Herausgebern beziehungsweise den externen Rechteinhabern. [Siehe Rechtliche Hinweise.](#)

Conditions d'utilisation

L'ETH Library est le fournisseur des revues numérisées. Elle ne détient aucun droit d'auteur sur les revues et n'est pas responsable de leur contenu. En règle générale, les droits sont détenus par les éditeurs ou les détenteurs de droits externes. [Voir Informations légales.](#)

Terms of use

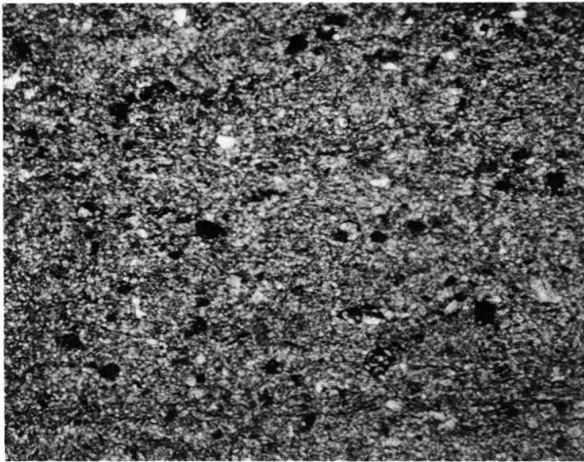
The ETH Library is the provider of the digitised journals. It does not own any copyrights to the journals and is not responsible for their content. The rights usually lie with the publishers or the external rights holders. [See Legal notice.](#)

Download PDF: 15.10.2024

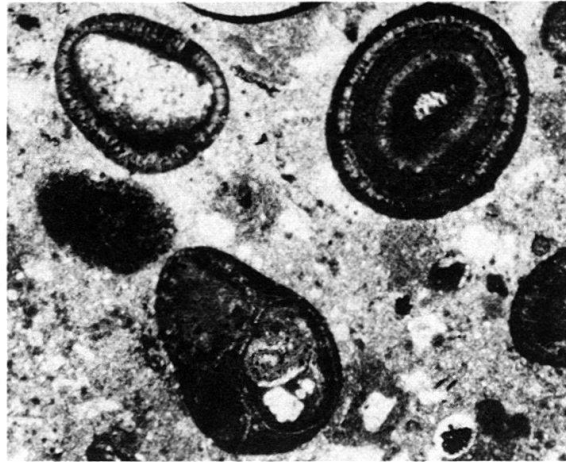
ETH-Bibliothek Zürich, E-Periodica, <https://www.e-periodica.ch>

Tafel 1**Dünnschliffbilder der Mikrofazies-Typen 2, 3B, 3E, 3G, 4B und 4B.**

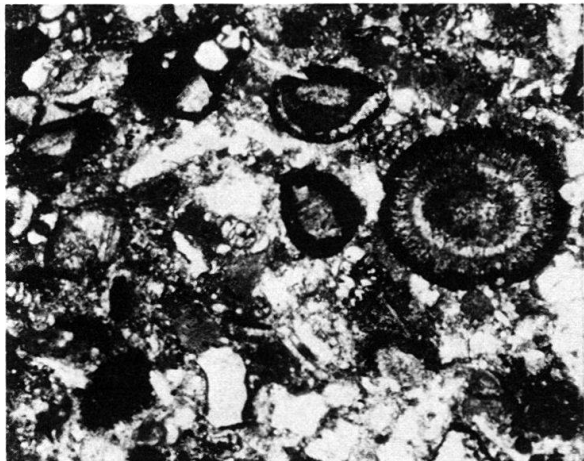
- Bild 1** MF-Typ 2, komponentenarmer Mikrit.
Profil Nr. 6 (Pragelpass), unterer Teil der Palfris-Formation. Vergrößerung $\times 50$.
- Bild 2** MF-Typ 3B, Resediment-Kalk, Komponenten hauptsächlich umgelagerte Ooide.
Profil Nr. 32 (Tierwis), Unterer Öhrli-Kalk. Vergrößerung $\times 50$.
- Bild 3** MF-Typ 3E, Resediment-Kalk, Komponentengemisch aus umgelagerten Bioklasten, Lithoklasten, Ooiden und Peloiden.
Profil Nr. 32 (Tierwis), Obere Öhrli-Mergel. Vergrößerung $\times 50$.
- Bild 4** MF-Typ 3G, Resediment-Kalk, feinkristalline Komponenten in dunkler, mikritischer Matrix mit Sandkomponenten.
Profil Nr. 25 (Filzbach), Unterer Öhrli-Kalk. Vergrößerung $\times 25$.
- Bild 5** MF-Typ 4A, Feinsandstein mit hauptsächlich Quarzsand und untergeordnet Karbonatsand.
Profil Nr. 4 (Dräckloch), Sandschüttung in den oberen Vitznau-Mergeln.
Vergrößerung $\times 50$.
- Bild 6** MF-Typ 4B, Sandschüttung mit detritischem Quarz (Feinsand) und Karbonatsand (ganzes Korngrössenspektrum).
Profil Nr. 4 (Dräckloch), obere Vitznau-Mergel. Vergrößerung $\times 50$.



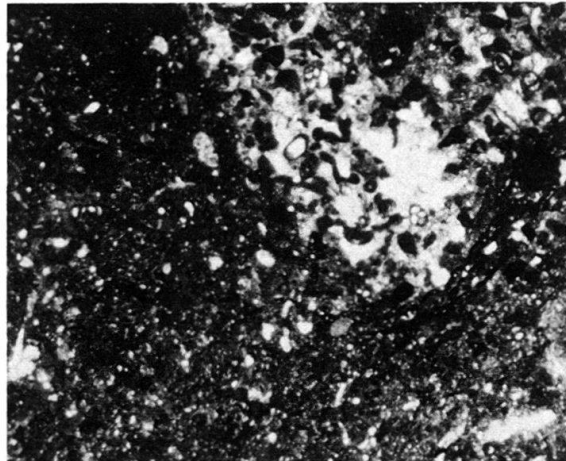
1



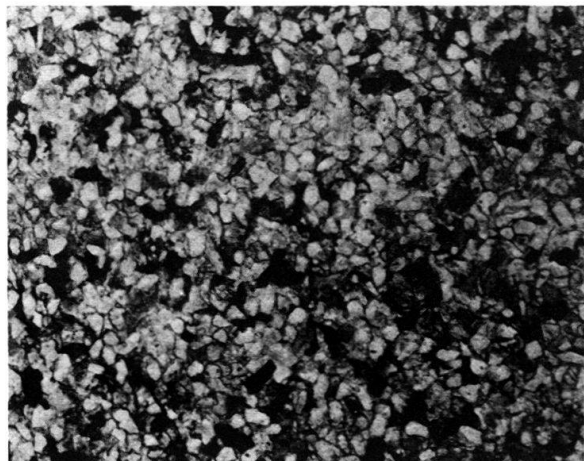
2



3



4



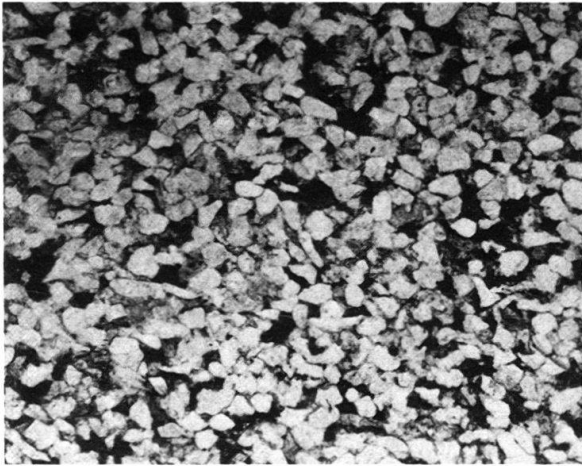
5



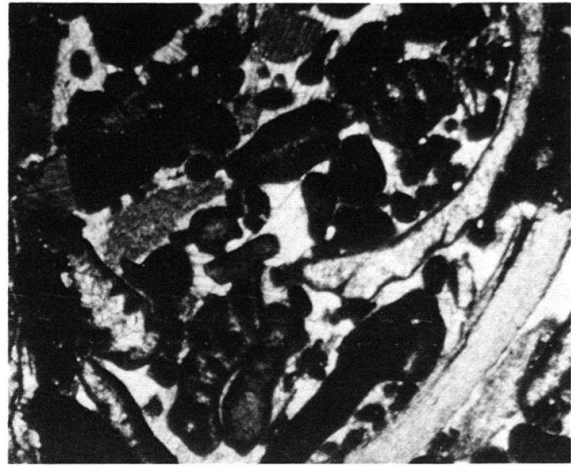
6

Tafel 2**Dünnschliffbilder der Mikrofazies-Typen 4C, 5A, 6B, 7, 10A und 10C.**

- Bild 1** MF-Typ 4C, feinsandreicher Kalk mit viel Quarzsand und sehr wenig Karbonatsand, Grundmasse enthält Dolomit und Ankerit.
Profil Nr. 32 (Tierwis), reliktsche Vitznau-Mergel. Vergrößerung $\times 50$.
- Bild 2** MF-Typ 5A, autochthoner Biosparit, Fossiltrümmer nicht aus anderen Fazieszonen umgelagert.
Profil Nr. 25 (Filzbach), Oberer Öhrli-Kalk. Vergrößerung $\times 25$.
- Bild 3** MF-Typ 6B, makrofossilreicher Biomikrit, Komponenten nicht aus anderen Fazieszonen umgelagert.
Profil Nr. 3 (Wasserberg), untere Vitznau-Mergel. Vergrößerung $\times 25$.
- Bild 4** MF-Typ 7, ooidreicher Sparit.
Profil Nr. 33 (Altenalp-Türme, Ostseite), unterer Teil des Oberen Öhrli-Kalks. Vergrößerung $\times 25$.
- Bild 5** MF-Typ 10A, fossilreicher, mikritischer Dolomitkalk mit Ankerit, Komponenten häufig gerundet, zum Teil angebohrt («Transgressionskonglomerat»)
Profil Nr. 4 (Dräckloch), basale Vitznau-Mergel. Vergrößerung $\times 25$.
- Bild 6** MF-Typ 10C, «Residualkonglomerat» mit gerundeten Komponenten in ankeritisch-dolomitischer Grundmasse, einzelne Komponenten stammen aus dem Öhrli-Kalk.
Profil Nr. 4 (Dräckloch), basale Vitznau-Mergel. Vergrößerung $\times 25$.



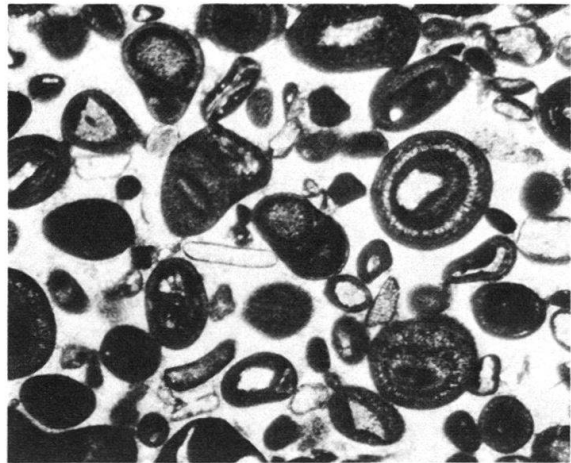
1



2



3



4



5



6

